

Table 3. Experimental results of various pig irons.

Sample No.	Specific heat (cal/g)		Transformation A <sub>1</sub> peak point (°C)	Heat-conduction base temp. 522°C	Si...	Mn	Thermal analysis A <sub>1</sub> point(°C), time(mn)
	450~830°C	Abnormal part					
1-g	107.84	21.89	736	49.0°C	0.30	0.16	736 12.5
2-g <sub>1</sub>	99.63	26.29	722	43.0°C	0.51	0.35	730 12.5
3-g	65.57	17.82	790	37.8°C	2.82	0.68	754 10.0
4-g	101.30	16.10	794	31.0°C	2.48	0.69	765 9.5
2-m					0.26	0.15	730 12.5
5-w					0.08	0.78	730~717 7.0

#### IV. 結論

木炭銑が他の銑鉄に較べて秀れた点をまず現場的にとらえて見て、熱分析、比熱測定、熱伝導度測定を行つたのであるが一応予想した結果は見られた。

処女性の問題についても更に熱履歴的実験を行う必要はあるが解明の一歩はここに初まると思う。

#### (47) 強制冷却による永久炉壁式炉の研究

(予備実験と水冷熔銑炉について)

(Study of the Permanent-Wall Type Furnace by Compulsory Cooling)

Ryozo Sato, et alius

秋田大学鉱山学部 教授 田畠農夫  
講師○佐藤良蔵

#### I. 緒言

鉄鋼精錬における耐火物の浸蝕熔損問題は、操業上重要な位置を占め、このため現在なを各種の方法がそれぞれの立場から研究されている。即ち、操業法に酸性、塩基性の別があり、これに伴つて装入素材その他が制約される外、その熔解損耗によつて炉形変化や操業状況の変化があり、加えるにその材料費、修理維持費等を考えると相当の経済的負担が加重される。

報告者は既に長期にわたる実験、考察から裏付けの強制冷却による永久壁化を試み、実験室的基礎実験および半工業的試験を通して得た結果からその実用性を確認し、これを熔銑炉に採用して熔解試験を行つた。本報告ではその研究経過を説明したい。

#### II. 水冷熔銑炉の意義

一般に使用されている熔銑炉の大半は、シャモット、鱗石等の酸性耐火材を裏付けているもので、最近、製品の材質の高級化に伴い、熔解条件も高度化し、マグネシ

ヤ、ドロマイド等の塩基性耐火物を裏付けした塩基性熔銑炉も操作されつつある。しかし、何れの場合もその熔損は避け難く、塩基性、特殊耐火物は価格の点から種々の問題を与えている。しかも熔解損耗は単に補修材料費の増加に止まらず、その修理、維持等に必要な人件費、所要時間や熔解材料に対する制約等が伴い、炉形変化による操業状況の変化、材質に対する安定性が関係してくれる。

しかし、本炉では耐火物の消耗がなく、長時間の操業でも炉形の変化を殆んど認めないので操業が合理的になり、高度の要求を充分満し得る。また使用素材の範囲が拡大され、補修、維持の手数が不要になる。

#### III. 予備実験の概要

裏付耐火物の損耗原因は種々あげ得るが、炉内で浸蝕の最も著しく現われる燃焼帯では淬化現象が最も大きい。このためコークス燃焼試験炉（内径：130mm 裏付厚さ：60mm 高さ：700mm）を用い、裏付煉瓦内の温度分布状態を炉温、時間等に対応させて測定した。その一例を Fig. 1 に示す。そこで淬化温度に著目して、外

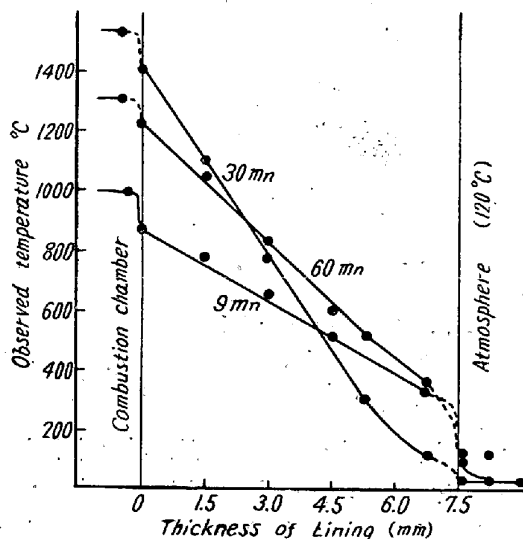


Fig. 1. Distribution of temperature in the lining.

Table 1. Sample of the working data (No of heat. N. 1 → N-10)

No. of heat	Time after blowing (mn)	Tapping amount of molten pig (kg)	Blast pressure (mm-aq.)	Blast amount (m³/mn)	Coke ratio (%)	Tapping temperature (°C)	Deformation of the zone (mm)		
							l	m	n
N-1	40	60	195	12.0	15	1250	390	210	-20
	80	110	190	9.0	15	1410			
	120	150	185	14.0	15	1350			
	150	170	195	12.0	15	1400			
N-2	40	40	150	10.0	10	1250	360	220	-5
	80	100	140	7.5	10	1400			
	120	160	140	8.0	10	1440			
	150	220	140	8.0	10	1450			
N-5	40	40	150	14.0	15	1350	360	220	+5
	80	100	150	14.2	15	1450			
	120	170	150	14.0	15	1490			
	150	240	150	14.0	15	1480			
N-10	40	40	150	14.0	10	1350	360	220	±0
	80	90	100	13.0	10	1450			
	120	170	100	13.0	10	1450			
	150	230	100	13.0	10	1460			

Table 2. Working condition for various factors.

(Used furnace: inner dia. 450mm, height. 2500mm coke ratio 10%)

Melting speed (kg/h)	Blast amount (m³/mn)	Blast press (mm aq.)	Tapping temp. (°C)
700	8.0	150	1450
800	10.0	180	1470
900	13.0	220	1510
1100	15.0	250	1530

Table 3. Change of water temperature in the jacket after blowing (°C).

Amount of water(l/h)	Time (mn)	Before blowing	30	60	90	120	150	180	210	240
		10	15.0	18.0	18.5	19.0	19.0	19.5	19.5	21.0
240		10	15.0	18.0	18.5	19.0	19.0	19.5	19.5	21.0
480		12	15.0	16.0	17.0	17.0	17.0	17.0	18.0	18.0

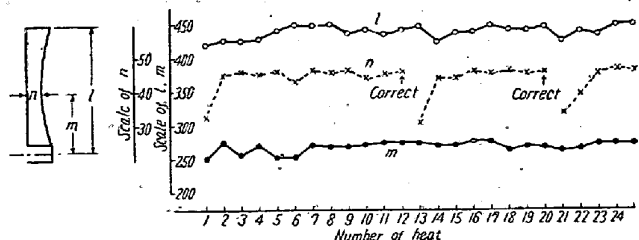


Fig. 2. The data of lining corrosion  
(l. m. showed the distance from tuyere centre,  
and n was the thickness of retained lining)

部からの表面冷却によってこの温度分布を制御し、淬化の進行を抑止すると、耐火物の熔損が平衡位置で喰止められ、また形成される耐火層はその条件下では以後の操業に対し、不变状態を続けて行く。今熔銑炉（内径：450mm 高さ：2500mm）における浸蝕状況を例示する

と Fig. 2 の如くである。即ち、回数を重ねると浸蝕は一定の位置までで、この位置は溶解条件によって略々一定する。

また使用時毎にモルタル補修を行つて見た場合と、連續に操業をした場合を比較すると、その溶解状況から浸蝕、炉形の変化が作業の進行に大きく影響し、モルタル補修は結果的に不利であることが示されている。

#### IV. 水冷熔銑炉とその操業状況

試作熔銑炉は Fig. 3 に示すミゼットキュポラで、水套部は別報告で得た試験結果を採用して決定した。本炉による溶解状況は Table 1 に示す。本炉の浸蝕、熔損は、予備実験の結果に略々一致し、初回の熔損のみで以後は殆んど無視できる。また炉况の一定化がよく示さ

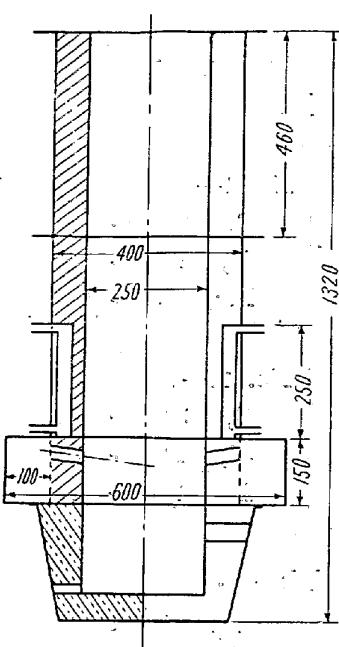


Fig. 3. Profile of the midget water cooled cupola.

殆んどなく、熔解能力および熔湯温度はより上昇した結果が得られた。また水套部の調節は、水量による水温の変化が割合変化しない。即ち、一度永久壁が形成されるとその後の浸蝕熔損は起らないものと考えられる。また炉壁の中性化から鉱滓調整は容易となり、反応を湯留部に限定させ得る結果、所要成分の熔銑は湯留部のみの関心で行えることが予想できる。

## V. 総 括

耐火物の浸蝕熔損問題に対する一方策として取上げた強制冷却法による耐火壁の永久化に関する基礎実験を行い、合せて水冷熔銑炉を試作してその熔解試験を行った結果、

1. 耐火物の浸蝕熔損対策として強制冷却法を採用すれば、各々の条件に応じた臨界位置で永久壁化が行われ、以後の浸蝕は認められない。
2. 永久壁化は反応物質により多少の差はあるが、耐火物の性質と温度分布の状態で定められ、冷却法はこの温度分布を支配する。
3. 熔銑炉の燃焼帯に水套を取り付け、炉壁の強制冷却を実施すれば、炉壁に永久壁が形成され、以後の炉形は変化せず、このため熔解作業が極めて安定する。
4. 炉形が一定であるため、炉況の調整が容易となり、熔解量—コークス量—風量の関係が単純で、熔湯の温度の低下を認めなかつた。

れ、コークス量—風量の規定により容易に熔解能力を規定することができた。追込コークス比 10% の場合を例示すれば、Table 2 の如くである。また水量と水温変化の状況を Table 3 に示す。

以上の結果から水冷熔銑炉は、現在使用している普通熔銑炉に比較して操作上殆んど差がない、その熔解状況はむしろより良好であることがわかる。即ち

風量—コークス量を一定にした場合、定常状態にある炉況の変動が

5. 冷却水の管理が簡単で、水量、水温等に特別の困難を伴わない。

6. 使用材料の制約範囲が拡大され、材質の調整は湯留部で行い得るので、各種の熔解法が容易に採用できることが予想される。

## (48) 球状黒鉛鋳鉄の高温度に於ける耐硫化性について

(The Sulphurization-Resistance of Spheroidal Graphite Cast Iron at High Temperatures)

Hiroshi Nakai, et alius

早稲田大学教授 工博 塩沢正一  
早稲田大学講師 工〇中井弘

## I. 緒 言

著者等は今まで各種鋳鉄の高温度における耐硫化性について一連の研究を行つてきた。今回は耐熱性にすぐれた球状黒鉛鋳鉄についてその耐硫化性を調査してみた。また更に球状黒鉛鋳鉄の耐硫化性を検討すると同時に黒鉛の形状および球状黒鉛鋳鉄の matrix が耐硫化性に影響を与えるかどうかという点についても実験を行つた。

## II. 試 料 調 製

試料は最初スエーデン木炭銑を、Fe—Si—Mg (Mg, 20%) を用いて Mg, 0.2~0.4 % の割合で処理したものおよびこれに Al, 0.5~1.0 % 添加したものを生砂型に鋳込んだ。この試料は黒鉛の球状化が行われず、黒鉛が微片状或いは塊状になつてゐた。そこで次にオーストラリヤ銑を Cu—Mg (Mg, 20%) で Mg, 0.3 % の割合で処理し、Si, 0.2 % で接種したもの、およびこれに Al, 0.5~1.0 % 加えたものを作製した。この試料はすべて黒鉛が球状化していたが matrix は全部 ferrite 型で、matrix の差異による試験は行えなかつた。これら試料の組成は Table 1 に示す。Al の添加は鋳鉄の球状化を妨げない程度に鋳鉄の耐硫化性を向上せしめるために行われた。

## III. 実 験 方 法

試験方法は前報と同じく、試料を 900°C の H<sub>2</sub>S 気流中で 10h 露出し、その重量変化をもつて硫化度とした。

## IV. 実 験 結 果

試験結果は Table 2 に示す、この結果によると僅か